

Дифференциальная емкость $p^+ - p$ -перехода

© Н.А. Шеховцов[¶]

Харьковский национальный университет им. В.Н. Каразина,
61077 Харьков, Украина

(Получена 1 марта 2011 г. Принята к печати 27 апреля 2011 г.)

Исследована дифференциальная емкость $p^+ - p$ -перехода, которая образована изменением заряда в области перехода с учетом электрического поля в квазинейтральной p -области. Получена зависимость емкости и тока $p^+ - p$ -перехода от напряжения в области перехода. Показано, что изменение знака емкости $p^+ - p$ -перехода с ростом уровня инжекции вызвано уменьшением биполярной дрейфовой подвижности в p -области. Показано, что изменение знака емкости $p^+ - p$ -перехода при увеличении обратного напряжения определяет уменьшение заряда в области перехода за счет преобладания роста отрицательного заряда ионов акцепторов над ростом положительного заряда дырок.

1. Введение

В работе [1] экспериментально показано, что у германиевых $p^+ - p$ -переходов с проводимостью p -области, близкой к собственной, характер зависимости дифференциальной емкости от тока изменяется с увеличением температуры перехода. При температуре $T = 300$ К емкость $p^+ - p$ -перехода с ростом прямого тока увеличивается, а при увеличении обратного тока изменяет знак с положительного на отрицательный. При температурах $T \geq 310$ К емкость $p^+ - p$ -перехода с ростом прямого тока достигает максимума, а затем уменьшается и изменяет знак. Теория $h-l$ -переходов [2–6] не объясняет такое изменение характера зависимости емкости $p^+ - p$ -перехода от тока при увеличении температуры перехода.

В связи с этим исследованы зависимости дифференциальной емкости и тока $p^+ - p$ -перехода от напряжения на области перехода. Рассмотрена емкость $p^+ - p$ -перехода, которая образована изменением заряда в области перехода с учетом изменения электрического поля в квазинейтральной p -области в режиме прямого и обратного включения. В режиме прямого включения $p^+ - p$ -перехода поле в квазинейтральной p -области определено с учетом зависимости биполярной дрейфовой подвижности от концентрации неравновесных пар электрон–дырка.

Показано, что изменение характера зависимости емкости $p^+ - p$ -перехода от тока инжекции при увеличении температуры перехода обусловлено уменьшением биполярной дрейфовой подвижности в p -области с приближением ее проводимости к собственной.

Показано, что изменение знака емкости $p^+ - p$ -перехода с ростом обратного тока вызвано уменьшением заряда в области перехода за счет преобладания увеличения отрицательного заряда ионов акцепторов над увеличением положительного заряда дырок.

2. Уравнения динамического равновесия $p^+ - p$ -перехода

Распределение электрического поля и потенциала в области пространственного заряда (ОПЗ) $n^+ - n^-$ и

$p^+ - p$ -переходов при термодинамическом равновесии исследовались в работах [7–11]. В [11] предложен способ получения точного распределения поля и потенциала в ОПЗ $p^+ - p$ -перехода при термодинамическом равновесии (см. рисунок).

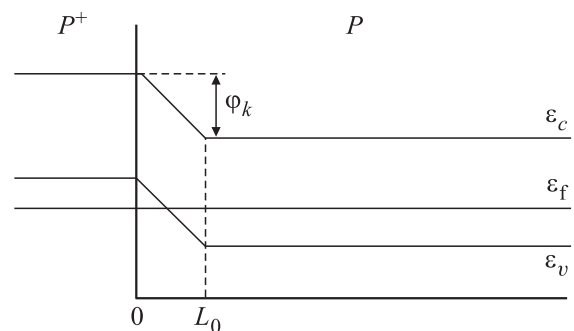
В ОПЗ $p^+ - p$ -перехода заряд электронов значительно меньше заряда дырок. Поэтому рекомбинацией электронов и дырок в ОПЗ перехода можно пренебречь. В этом случае токи дырок и электронов в ОПЗ перехода не зависят от координаты x . Состояние динамического равновесия $p^+ - p$ -перехода определит система уравнений:

$$\frac{j_p}{qD_p} = \frac{p(x)}{kT} \frac{d\phi(x)}{dx} - \frac{dp(x)}{dx}, \quad (1)$$

$$\frac{j_n}{qD_n} = \frac{n(x)}{kT} \frac{d\phi(x)}{dx} + \frac{dn(x)}{dx}, \quad (2)$$

$$\frac{d^2\phi(x)}{dx^2} = \frac{4\pi q^2}{\epsilon} [p(x) - (p_T - n_T) - n(x)] \quad (3)$$

совместно с условием динамического равновесия ОПЗ перехода. Здесь j_p — ток дырок, j_n — ток электронов, $p(x)$ и $n(x)$ — распределение концентрации дырок и электронов соответственно; p_T и n_T — концентрации



Энергетическая диаграмма $p^+ - p$ -перехода. ϵ_c — дно зоны проводимости, ϵ_v — потолок валентной зоны, ϕ_k — величина потенциального барьера области перехода, L_0 — ширина области перехода.

[¶] E-mail: shekhov@isc.kharkov.ua

дырок и электронов в p -области при термодинамическом равновесии перехода; $\varphi(x) = -q\psi(x)$, где q — заряд электрона, $\psi(x)$ — положительный потенциал, k — постоянная Больцмана, T — температура Кельвина, ε — диэлектрическая проницаемость решетки полупроводника; $D_p/\mu_p = D_n/\mu_n = kT/q$, где D_p и D_n — коэффициенты диффузии, а μ_p и μ_n — подвижности дырок и электронов.

Граничные условия для системы уравнений (1)–(3) представим в виде

$$\varphi(L) = 0, \quad (4)$$

$$\varphi(0) = q(U_k \mp U), \quad (5)$$

$$p(L) = p_L, \quad (6)$$

$$p(0) = p_0(0) \pm \Delta p(0) = p_T e^{\frac{qU_k}{kT}} \left[1 \pm \Delta p(0) p_T^{-1} e^{-\frac{qU_k}{kT}} \right], \quad (7)$$

$$n(L) = n_L, \quad (8)$$

$$n(0) = n_0(0) \pm \Delta n(0) = n_T e^{-\frac{qU_k}{kT}} \left[1 \pm \Delta n(0) n_T^{-1} e^{\frac{qU_k}{kT}} \right], \quad (9)$$

$$n(0) = n_L e^{-\frac{q(U_k \mp U)_k}{kT}} \mp \Delta n(0), \quad (10)$$

$$\left(\frac{d\varphi(x)}{dx} \right)_{x=L} = \left(\frac{d\varphi(x)}{dx} \right)_L. \quad (11)$$

Здесь L — ширина (ОПЗ) перехода, U — напряжение, которое изменяет разность потенциалов U_k ; $p_0(0)$ и $n_0(0)$ — концентрации дырок и электронов при термодинамическом равновесии перехода; верхние знаки (плюс и минус) — для прямого, а нижние — для обратного включения перехода; $q^{-1}[d\varphi(x)/dx]_L = E(L)$ — электрическое поле. Величины p_L , n_L , $\Delta p(0)$, $\Delta n(0)$ и $[d\varphi(x)/dx]_L$ зависят от напряжения U .

Представление $\Delta n(0)$ в виде (9) и (10) дает возможность выразить $\Delta n(0)$ через n_L .

В правой части условия (10) первый член представляет концентрацию электронов у поверхности p^+ -области при распределении их концентрации в ОПЗ перехода с $U_k \mp U$ по закону Больцмана. Необходимо отметить, что условие (10) можно использовать только в случае пренебрежимо малого изменения $U_k \mp U$ при замене распределения $n(x)$ распределением Больцмана.

Связь концентраций n_L и p_L определяет условие квазинейтральности p -области, которое на границе ОПЗ перехода при $x = L$ имеет вид

$$n_L = n_T \pm \Delta p(L) = n_T + (p_L - p_T), \quad (12)$$

где $p_L - p_T > 0$ при прямом включении перехода и $p_L - p_T < 0$ при обратном включении перехода.

Величину $\Delta p(0)$ определяет условие квазинейтральности p^+ -области, которое у ее поверхности при $x = 0$ имеет вид

$$\Delta p(0) = \Delta n(0). \quad (13)$$

Граничное условие (11) показывает, что электрическое поле на границе ОПЗ перехода с квазинейтральной p -областью не равно нулю при прямом и обратном включении перехода.

В режиме прямого включения p^+ - p -перехода электрические поля ОПЗ перехода и квазинейтральной p -области направлены в противоположные стороны. При инжекции дырок p^+ -областью в p -область квазинейтральность p -области устанавливает заряд электронов, которые приходят из внешней цепи. Поэтому на плоскости раздела ОПЗ перехода и квазинейтральной p -области не весь заряд дырок компенсируется зарядом электронов. Нескомпенсированный заряд дырок этой плоскости является общим для ОПЗ перехода и квазинейтральной p -области. Таким образом, электрические поля ОПЗ перехода $E(L)$ и квазинейтральной p -области $E(L+0)$ отличны от нуля и $E(L) = -E(L+0)$, т. е.

$$\left(\frac{d\varphi(x)}{dx} \right)_L = \left(\frac{d\varphi(x)}{dx} \right)_{L+0}. \quad (14)$$

В режиме обратного включения p^+ - p -перехода электрические поля ОПЗ перехода $E(L)$ и квазинейтральной p -области $E(L+0)$ имеют одинаковое направление и $E(L) = E(L+0)$, т. е.

$$\left(\frac{d\varphi(x)}{dx} \right)_L = \left(\frac{d\varphi(x)}{dx} \right)_{L+0}. \quad (15)$$

На границе ОПЗ p^+ - p -перехода и квазинейтральной p -области выполняется условие непрерывности тока

$$j = j(L+0), \quad (16)$$

где $j = j_p + j_n$ — ток ОПЗ перехода, $j(L+0)$ — ток квазинейтральной p -области при $x = L$. Вдоль квазинейтральной p -области ток $j(L+0)$ не изменяется, а соотношение диффузионного и дрейфового тока может изменяться.

Распределение концентрации дырок $p(x)$, электронов $n(x)$ и токи j_p и j_n в ОПЗ p^+ - p -перехода при прямом и обратном включении получим интегрированием уравнений (1) и (2) методом вариации постоянной.

Напряжение на ОПЗ p^+ - p -перехода U смещает границу ОПЗ и n -области $x = L_0$ и изменяет концентрации дырок p_T и электронов n_T . Распределение концентрации дырок, которое получаем интегрированием уравнения (1) при $j_p = 0$ от L до x с $\varphi(L) = 0$ и $p(L) = p_L$ имеет вид $p_L \exp[\varphi(x)/kT]$. Поэтому решение уравнения (1) ищем в виде

$$p(x) = c(x) e^{\frac{\varphi(x)}{kT}}. \quad (17)$$

Распределение концентрации электронов, которое получаем интегрированием уравнения (2) при $j_n = 0$ от x до L с $\varphi(L) = \pm qU$ и $n(L) = n_L$, имеет вид $n_T \exp(\mp qU/kT) \exp[-\varphi(x)/kT]$. Чтобы варьируемая величина была постоянной, т.е. чтобы протекание тока j_n не изменяло равновесную концентрацию электронов n_T в p -области, решение уравнения (2) ищем в виде

$$n(x) = c(x)e^{-\frac{\varphi(x)}{kT}} \quad (18)$$

3. Режимы включения $p^+ - p$ -перехода

3.1. Прямое включение

Из уравнения (1) с учетом (17), (4)–(7) получаем распределение концентрации дырок $p(x)$ в виде

$$p(x) = p_T \left\{ p_L p_T^{-1} + \left[\left(1 + \Delta p(0) p_T^{-1} e^{-\frac{qU_k}{kT}} \right) e^{\frac{qU}{kT}} - p_L p_T^{-1} \right] \times \left(\int_L^0 e^{-\frac{\varphi(x)}{kT}} dx \right)^{-1} \int_L^x e^{-\frac{\varphi(x)}{kT}} dx \right\} e^{\frac{\varphi(x)}{kT}} \quad (19)$$

и ток j_p в виде

$$j_p = qD_p p_T \left[\left(1 + \Delta p(0) p_T^{-1} e^{-\frac{qU_k}{kT}} \right) e^{\frac{qU}{kT}} - p_L p_T^{-1} \right] \times \left(\int_0^L e^{-\frac{\varphi(x)}{kT}} dx \right)^{-1}. \quad (20)$$

Из уравнения (2) с учетом (18), (4), (5), (8)–(10) получаем распределение концентрации электронов $n(x)$ в виде

$$n(x) = n_T \left\{ n_L n_T^{-1} + \left[n_L n_T^{-1} - e^{-\frac{qU}{kT}} \left(1 + \Delta n(0) n_T^{-1} e^{\frac{qU_k}{kT}} \right) \right] \times \left(\int_L^0 e^{\frac{\varphi(x)}{kT}} dx \right)^{-1} \int_L^x e^{\frac{\varphi(x)}{kT}} dx \right\} e^{-\frac{\varphi(x)}{kT}} \quad (21)$$

и ток j_n в виде

$$j_n = qD_n n_T \left[n_L n_T^{-1} - e^{-\frac{qU}{kT}} \left(1 + \Delta n(0) n_T^{-1} e^{\frac{qU_k}{kT}} \right) \right] \times \left(\int_0^L e^{\frac{\varphi(x)}{kT}} dx \right)^{-1}, \quad (22)$$

а также в виде

$$j_n = qD_n \Delta n(0) e^{\frac{q(U_k - U)}{kT}} \left(\int_0^L e^{\frac{\varphi(x)}{kT}} dx \right)^{-1}. \quad (23)$$

Зависимость величины заряда в ОПЗ $p^+ - p$ -перехода от напряжения U получим из уравнения (3). Уравнение (3) с учетом (19) и (21) умножим на $2d\varphi(x)/dx$, интегрируем от L до x с учетом (4), (11) и получаем

$$\begin{aligned} \frac{d\varphi(x)}{dx} = & - \left(\frac{8\pi q^2 kT p_T}{\varepsilon} \right)^{1/2} \left\{ p_L p_T^{-1} \left(e^{\frac{\varphi(x)}{kT}} - 1 \right) \right. \\ & + \left[\left(1 + \Delta p(0) p_T^{-1} e^{-\frac{qU_k}{kT}} \right) e^{\frac{qU}{kT}} - p_L p_T^{-1} \right] \left(\int_L^0 e^{-\frac{\varphi(x)}{kT}} dx \right)^{-1} \\ & \times \left[e^{\frac{\varphi(x)}{kT}} \int_L^x e^{-\frac{\varphi(x)}{kT}} dx + L - x \right] - (1 - n_T p_T^{-1}) \frac{\varphi(x)}{kT} \\ & - n_L p_T^{-1} (1 - e^{-\frac{\varphi(x)}{kT}}) - n_T p_T^{-1} \left[n_L n_T^{-1} - e^{-\frac{qU}{kT}} \right. \\ & \times \left. \left. \left(1 + \Delta n(0) n_T^{-1} e^{\frac{qU_k}{kT}} \right) \right] \left(\int_L^0 e^{\frac{\varphi(x)}{kT}} dx \right)^{-1} \right. \\ & \left. \times \left[e^{-\frac{\varphi(x)}{kT}} \int_L^x e^{\frac{\varphi(x)}{kT}} dx + L - x \right] + \frac{\varepsilon}{8\pi q^2 kT p_T} \left(\frac{d\varphi(x)}{dx} \right)_L^2 \right\}^{1/2}. \quad (24) \end{aligned}$$

При получении уравнения (24) произведения экспоненты, интеграла и $d\varphi(x)/dx$ проинтегрированы по частям.

Величину $(d\varphi(x)/dx)_L$ определяет условие непрерывности тока (16). Из уравнений (20) и (22) видно, что $j_p \gg j_n$. Поэтому для получения $(d\varphi(x)/dx)_L$ в более простом виде условие (16) можно заменить условием непрерывности тока дырок в виде

$$j_p = j_p(L+0). \quad (25)$$

Ток $j_p(L+0)$ получим при следующих допущениях. Полагаем, что длина p -области $l \ll L_n$ — диффузионной длины электронов в ней, а базовый контакт p -области не оказывает существенного влияния на рекомбинацию электронов и дырок. Тогда диффузионным током в p -области можно пренебречь. Подвижность неравновесных носителей заряда μ (биполярную дрейфовую подвижность) определяет формула [12,13]

$$\mu = (p_T - n_T) (p_T \mu_n^{-1} + n_T \mu_p^{-1})^{-1}, \quad (26)$$

где μ_n и μ_p — подвижности равновесных электронов и дырок. Формула (26) получена при умножении уравнения непрерывности для дырок на $\sigma_n = q\mu_n n_T$, а уравнения непрерывности для электронов — на $\sigma_p = q\mu_p p_T$ [12,13]. При умножении уравнения непрерывности для дырок на $\sigma_n = q\mu_n n$, а уравнения непрерывности для электронов на $\sigma_p = q\mu_p p$, где $n = n_T + \Delta n$ и $p = p_T + \Delta p$, получаем дрейфовую по-

движность неравновесных носителей заряда μ в виде

$$\mu = (p - n)(p\mu_n^{-1} + n\mu_p^{-1})^{-1} = (p_T - n_T)(p\mu_n^{-1} + n\mu_p^{-1})^{-1}, \quad (27)$$

таккак $\Delta p \cong \Delta n$. Направление дрейфа квазинейтрального образования определяет заряд дырок $q(\Delta p - \Delta n)$, которые инжектирует $p^+ - n$ -переход. Из (27) следует, что с ростом концентраций p и n за счет увеличения концентраций Δp и Δn подвижность μ уменьшается. Поэтому дрейфовый ток дырок в квазинейтральной p -области представим с учетом (14) в виде

$$j_p(L + 0) = -[p_T\mu_p + (p_L - p_T)\mu] \left(\frac{d\varphi(x)}{dx} \right)_L = -p_T\mu_p [1 + \mu\mu_p^{-1}(p_L p_T^{-1} - 1)] \left(\frac{d\varphi(x)}{dx} \right)_L. \quad (28)$$

Из уравнения (25) с учетом (20), (28) и соотношения Эйнштейна получаем

$$\left(\frac{d\varphi(x)}{dx} \right)_L = -kT \left[(1 + \Delta p(0)p_T^{-1} e^{-\frac{qU_k}{kT}}) e^{\frac{qU}{kT}} - p_L p_T^{-1} \right] \times \left(\int_0^L e^{-\frac{\varphi(x)}{kT}} dx \right)^{-1} [1 + \mu\mu_p^{-1}(p_L p_T^{-1} - 1)]^{-1}. \quad (29)$$

Получение энергетической зависимости $\varphi(x)$ и ширины ОПЗ $p^+ - p$ -перехода L из уравнения (24) представляет собой сложную задачу. Поэтому интегралы и величины L в (24) определим из результатов описания термодинамического равновесия $p^+ - p$ -перехода. Из уравнения (24) при $j_p = j_n = 0$, $p_L = p_T$, $n_L = n_T$ и замене $\varphi(x)$ на $\varphi_0(x)$ получаем уравнение состояния термодинамического равновесия $p^+ - p$ -перехода в виде

$$\frac{d\varphi_0(x)}{dx} = - \left(\frac{8\pi q^2 kT p_T}{\varepsilon} \right)^{1/2} \left[e^{\frac{\varphi_0(x)}{kT}} - 1 - (1 - n_T p_T^{-1}) \times \frac{\varphi_0(x)}{kT} - n_T p_T^{-1} (1 - e^{-\frac{\varphi_0(x)}{kT}}) \right]^{1/2}. \quad (30)$$

В ОПЗ $p^+ - p$ -перехода заряд дырок значительно больше заряда ионов акцепторов и электронов. Поэтому уравнение (30) можно представить в приближенном виде

$$\frac{d\varphi_0(x)}{dx} = - \left(\frac{8\pi q^2 kT p_T}{\varepsilon} \right)^{1/2} e^{\frac{\varphi_0(x)}{2kT}} (1 - e^{-\frac{\varphi_0(x)}{kT}})^{1/2}. \quad (31)$$

При

$$\int_0^x (1 - e^{-\frac{\varphi_0(x)}{kT}})^{1/2} dx \cong \int_0^x dx \quad (32)$$

из (31) с учетом (4), (5) получаем

$$L = \left(\frac{\varepsilon kT}{2\pi q^2 p_T} \right)^{1/2} (1 - e^{-\frac{q(U_k \mp U)}{2kT}}), \quad (33)$$

$$\int_L^0 e^{-\frac{\varphi(x)}{kT}} dx = \int_L^0 e^{-\frac{\varphi_0(x)}{kT}} dx = -\frac{1}{3} \left(\frac{\varepsilon kT}{2\pi q^2 p_T} \right)^{1/2} (1 - e^{-\frac{3q(U \mp U_k)}{kT}}); \quad (34)$$

а с учетом $\varphi_0(0) = qU_k$, $\varphi_0(L) = \pm qU$ и $\varphi(0) = q(U_k \mp U)$ получаем

$$\int_L^0 e^{\frac{\varphi(x)}{kT}} dx = e^{\mp \frac{qU}{kT}} \int_L^0 e^{\frac{\varphi_0(x)}{kT}} dx = - \left(\frac{\varepsilon kT}{2\pi q^2 p_T} \right)^{1/2} e^{\frac{qU_k}{2kT}} (1 - e^{-\frac{q(U \mp U_k)}{2kT}}) e^{\mp \frac{qU}{kT}}. \quad (35)$$

При прямом включении $p^+ - p$ -перехода электрические поля ОПЗ перехода и квазинейтральной p -области направлены в противоположные стороны. Поэтому заряд Q , который определяет дифференциальную емкость $p^+ - p$ -перехода в режиме прямого включения, представим в виде

$$Q = \frac{\varepsilon}{4\pi q} \left\{ \left| \left(\frac{d\varphi(x)}{dx} \right)_{x=0} \right| - \left| \left(\frac{d\varphi(x)}{dx} \right)_{L+0} \right| \right\} = \frac{\varepsilon}{4\pi q} \left| \left(\frac{d\varphi(x)}{dx} \right)_{x=0} - \left(\frac{d\varphi(x)}{dx} \right)_L \right|. \quad (36)$$

Представляем (24) с учетом (4), (29) и (33)–(35) и (29) с учетом (34) в (36) и получаем заряд Q в виде

$$Q = q p_T \left(\frac{\varepsilon kT}{2\pi q^2 p_T} \right)^{1/2} \left\{ (1 + \Delta p(0)p_T^{-1} e^{-\frac{qU_k}{kT}}) e^{\frac{qU_k}{kT}} - p_L p_T^{-1} - 3 \left[(1 + \Delta p(0)p_T^{-1} e^{-\frac{qU_k}{kT}}) e^{\frac{qU}{kT}} - p_L p_T^{-1} \right] \times (1 - e^{-\frac{q(U_k - U)}{2kT}}) (1 - e^{-\frac{3q(U_k - U)}{2kT}})^{-1} - (1 - n_L p_T^{-1}) \times \frac{q(U_k - U)}{kT} - n_L p_T^{-1} (1 - e^{-\frac{q(U_k - U)}{2kT}}) + n_T p_T^{-1} \left[n_L n_T^{-1} \times e^{\frac{qU}{kT}} - (1 + \Delta n(0)n_T^{-1} e^{\frac{qU_k}{kT}}) \right] (1 - e^{-\frac{q(U_k - 2U)}{2kT}}) e^{-\frac{qU_k}{2kT}} + 2.25F^{-2} \left[(1 + \Delta p(0)p_T^{-1} e^{-\frac{qU_k}{kT}}) e^{\frac{qU}{kT}} - p_L p_T^{-1} \right]^2 \times (1 - e^{-\frac{3q(U_k - U)}{2kT}})^{-2} \right\}^{1/2} - q p_T \left(\frac{\varepsilon kT}{2\pi q^2 p_T} \right)^{1/2} 1.5F^{-1} \times \left[(1 + \Delta p(0)p_T^{-1} e^{-\frac{qU_k}{kT}}) e^{\frac{qU}{kT}} - p_L p_T^{-1} \right] (1 - e^{-\frac{3(U_k - U)}{2kT}})^{-1} \quad (37)$$

где

$$F_{\pm} = 1 + \mu\mu_p^{-1}(p_L p_T^{-1} - 1). \quad (38)$$

С учетом (12) при

$$\Delta p(0)p_T^{-1}e^{-\frac{qU_k}{kT}} \ll 1; \quad e^{-\frac{3q(U_k-U)}{2kT}} \ll 1; \quad e^{-\frac{q(U_k-U)}{kT}} \ll 1;$$

$$n_T p_T^{-1} \left[n_L n_T^{-1} e^{-\frac{qU}{kT}} - (1 + \Delta n(0)n_T^{-1} e^{\frac{qU_k}{kT}}) \right]$$

$$\times \left[\left(1 - e^{-\frac{q(U_k-2U)}{2kT}} \right) e^{-\frac{qU_k}{2kT}} \right] \ll n_L p_T^{-1} \quad (39)$$

из (37) получаем

$$Q = q p_T \left(\frac{\varepsilon k T}{2\pi q^2 p_L} \right)^{1/2} \left\{ \left[e^{\frac{qU_k}{kT}} - 2p_L p_T^{-1} - 3 \left(e^{\frac{qU}{kT}} - p_L p_T^{-1} \right) \right] \right.$$

$$\times \left(1 - e^{-\frac{q(U_k-U)}{2kT}} \right) - \left(1 - n_T p_T^{-1} \right) \frac{q(U_k-U)}{kT} + 1 - n_T p_T^{-1}$$

$$\left. + 2.25F^{-2} \left(e^{\frac{qU}{kT}} - p_L p_T^{-1} \right)^2 \right]^{1/2} - 1.5F^{-1} \left(e^{\frac{qU}{kT}} - p_L p_T^{-1} \right) \right\}. \quad (40)$$

3.2. Обратное включение

Из уравнения (1) с учетом (17), (4)–(7) получаем распределение концентрации дырок $p(x)$ в виде

$$p(x) = p_T \left\{ p_L p_T^{-1} - \left[p_L p_T^{-1} - (1 - \Delta p(0)p_T^{-1} e^{-\frac{qU_k}{kT}}) e^{-\frac{qU}{kT}} \right] \right.$$

$$\times \left. \left(\int_L^x e^{-\frac{\varphi(x)}{kT}} dx \right)^{-1} \int_L^x e^{-\frac{\varphi(x)}{kT}} dx \right\} e^{\frac{\varphi(x)}{kT}} \quad (41)$$

и ток j_p в виде

$$j_p = -q D_p p_T \left[p_L p_T^{-1} - (1 - \Delta p(0)p_T^{-1} e^{-\frac{qU_k}{kT}}) e^{-\frac{qU}{kT}} \right]$$

$$\times \left(\int_L^0 e^{-\frac{\varphi(x)}{kT}} dx \right)^{-1}. \quad (42)$$

Из уравнения (2) с учетом (18), (4), (5), (8)–(10) получаем распределение концентрации электронов $n(x)$ в виде

$$n(x) = n_T \left\{ n_L n_T^{-1} + \left[(1 - \Delta n(0)n_T^{-1} e^{\frac{qU_k}{kT}}) e^{\frac{qU}{kT}} - n_L n_T^{-1} \right] \right.$$

$$\times \left. \left(\int_L^0 e^{\frac{\varphi(x)}{kT}} dx \right)^{-1} e^{-\frac{\varphi(x)}{kT}} \int_L^x e^{\frac{\varphi(x)}{kT}} dx \right\} e^{-\frac{\varphi(x)}{kT}} \quad (43)$$

и ток j_n в виде

$$j_n = -q D_n n_T \left[\left(1 - \Delta n(0)n_T^{-1} e^{\frac{qU_k}{kT}} \right) - n_L n_T^{-1} e^{-\frac{qU}{kT}} \right]$$

$$\times \left(\int_L^0 e^{\frac{\varphi(x)}{kT}} dx \right)^{-1}, \quad (44)$$

а также в виде

$$j_n = -q D_n \Delta n(0) e^{\frac{q(U_k+U)}{kT}} \left(\int_L^0 e^{\frac{\varphi(x)}{kT}} dx \right)^{-1}. \quad (45)$$

Уравнение (3) с учетом (41) и (43) умножаем на $2d\varphi(x)/dx$ и интегрируем от L до 0 с учетом (4), (5), (11), (33)–(35). Тогда получим

$$\left(\frac{d\varphi(x)}{dx} \right)_{x=0} = - \left(\frac{8\pi q^2 k T p_T}{\varepsilon} \right)^{1/2} \left\{ (1 - \Delta p(0)p_T^{-1} e^{-\frac{qU_k}{kT}}) \right.$$

$$\times e^{\frac{qU_k}{kT}} - p_L p_T^{-1} + 3 \left[p_L p_T^{-1} - (1 - \Delta p(0)p_T^{-1} e^{-\frac{qU_k}{kT}}) \right]$$

$$\times e^{-\frac{qU}{kT}} \left. \left(1 - e^{-\frac{q(U_k+U)}{2kT}} \right) \left(1 - e^{-\frac{3q(U_k+U)}{2kT}} \right)^{-1} - n_L p_T^{-1} \right.$$

$$\times \left. \left(1 - e^{-\frac{q(U_k+U)}{kT}} \right) - (1 - n_T p_T^{-1}) \frac{q(U_k+U)}{kT} - n_T p_T^{-1} \right.$$

$$\times \left. \left[1 - \Delta n(0)n_T^{-1} e^{\frac{qU_k}{kT}} - e^{\frac{qU}{kT}} n_L n_T^{-1} \right] \left(1 - e^{-\frac{qU_k}{2kT}} \right) e^{-\frac{qU_k}{kT}} \right.$$

$$\left. + \frac{\varepsilon}{8\pi q^2 k T p_p} \left(\frac{d\varphi(x)}{dx} \right)_L^2 \right\}^{1/2}. \quad (46)$$

Обратный дрейфовый ток дырок в квазинейтральной p -области $p^+ - p$ -перехода образован дрейфом равновесных дырок. Поэтому ток $j_p(L+0)$ представим с учетом (15) в виде

$$j_p(L+0) = p_L \mu_p \left(\frac{d\varphi(x)}{dx} \right)_L. \quad (47)$$

Из уравнения (25) с учетом (42), (47), (34) и соотношения Эйнштейна получаем

$$\left(\frac{d\varphi(x)}{dx} \right)_L = -1.5 \left(\frac{8\pi q^2 k T p_T}{\varepsilon} \right)^{1/2} (p_L p_T^{-1})^{-1}$$

$$\times \left[p_L p_T^{-1} - (1 - \Delta p(0)p_T^{-1} e^{-\frac{qU_k}{kT}}) e^{-\frac{qU}{kT}} \right] \left(1 - e^{-\frac{3q(U_k+U)}{2kT}} \right)^{-1}. \quad (48)$$

При обратном включении $p^+ - p$ -перехода электрические поля ОПЗ перехода и квазинейтральной p -области имеют одинаковое направление. Поэтому заряд Q , который определяет дифференциальную емкость $p^+ - p$ -перехода в режиме обратного включения, представим в виде

$$Q = \frac{\varepsilon}{4\pi q} \left\{ \left| \left(\frac{d\varphi(x)}{dx} \right)_{x=0} \right| + \left| \left(\frac{d\varphi(x)}{dx} \right)_{L+0} \right| \right\}$$

$$= \frac{\varepsilon}{4\pi q} \left| \left(\frac{d\varphi(x)}{dx} \right)_{x=0} + \left(\frac{d\varphi(x)}{dx} \right)_L \right|. \quad (49)$$

Подставляем (46), (48) в (49) и при

$$\Delta p(0)p_T^{-1} e^{-\frac{qU_k}{kT}} \ll 1; \quad e^{-\frac{3q(U_k+U)}{2kT}} \ll 1; \quad e^{-\frac{q(U_k+U)}{kT}} \ll 1;$$

$$n_T p_T^{-1} \left[\left(1 - \Delta n(0)n_T^{-1} e^{\frac{qU_k}{kT}} \right) - e^{\frac{qU}{kT}} n_L n_T^{-1} \right]$$

$$\times \left(1 - e^{-\frac{qU_k}{2kT}} \right) e^{-\frac{qU_k}{kT}} \ll n_L p_T^{-1} \quad (50)$$

с учетом (12) получим заряд в виде

$$Q = q p_T \left(\frac{\varepsilon k T}{2 \pi q^2 p_T} \right)^{1/2} \left\{ \left[e^{\frac{q U_k}{k T}} - 2 p_L p_T^{-1} + 3 (p_L p_T^{-1} - e^{-\frac{q U}{k T}}) \right. \right. \\ \times \left. \left. (1 - e^{-\frac{q(U_k + U)}{2 k T}}) - (1 - n_T p_T^{-1}) \frac{q(U_k + U)}{k T} \right. \right. \\ \left. \left. + 1 - n_T p_T^{-1} + 2.25 (p_L p_T^{-1})^{-2} (p_L p_T^{-1} - e^{-\frac{q U}{k T}})^2 \right]^{1/2} \right. \\ \left. + 1.5 (p_L p_T^{-1})^{-1} (p_L p_T^{-1} - e^{-\frac{q U}{k T}}) \right\}^{1/2}. \quad (51)$$

В (40) и (51) концентрацию дырок p_L определяет напряжение U , которое изменяет разность потенциалов U_k .

4. Зависимость граничных концентраций дырок и электронов от напряжения на области $p^+ - p$ -перехода

Граничные условия для концентраций электронов и дырок ОПЗ $p^+ - p$ -перехода работы [14] аналогичны граничным условиям $p - n$ -перехода Шокли [15]. Зависимость концентрации носителей заряда на границе ОПЗ $p - n$ -перехода получалась и анализировалась в ряде работ [15–21].

Граничные условия ОПЗ $p - n$ -перехода работ [15–21] получены на основе различных приближений в представлении ОПЗ перехода без рассмотрения условий динамического равновесия перехода.

В данной работе полагаем, что условия динамического равновесия $p^+ - p$ -перехода определяют действие принципа Ле-Шателье–Брауна [22] и фактора, который ограничивает действие этого принципа. В соответствии с принципом Ле-Шателье–Брауна в ОПЗ $p^+ - p$ -перехода с внешним напряжением изменение распределения концентраций дырок и электронов ослабляет действие внешнего напряжения. Это значит, что изменения в ОПЗ $p^+ - p$ -перехода направлены на установление состояния с током, равным нулю (бестоковое состояние), которое не может быть реализовано.

Установлению бестокового состояния в $p^+ - p$ -переходе препятствует недостаток заряда дырок и электронов при прямом включении и избыток заряда дырок и электронов при обратном включении. Это положение справедливо для заряда дырок и электронов в отдельности.

Заряд в ОПЗ $p^+ - p$ -перехода в бестоковом состоянии и заряд, который препятствует установлению бестокового состояния, определяют заряд в ОПЗ перехода при динамическом равновесии. Это положение определяет зависимость граничной концентрации носителей заряда ОПЗ $p^+ - p$ -перехода от напряжения на ОПЗ перехода.

В связи с этим рассмотрим бестоковое состояние $p^+ - p$ -перехода для режимов прямого и обратного включения перехода. В бестоковом состоянии $p^+ - p$ -перехода распределение концентрации дырок $p_1(x)$ получим из (19) или (41) при $j_p = 0$ и замене $p(x)$ на $p_1(x)$ и $\varphi(x)$ на $\varphi_1(x)$ в виде

$$p_1(x) = p_L e^{\frac{\varphi_1(x)}{k T}}, \quad (52)$$

а распределение концентрации электронов $n_1(x)$ получим из (21) или (43) при $j_n = 0$ и замене $n(x)$ на $n_1(x)$ и $\varphi(x)$ на $\varphi_1(x)$ в виде

$$n_1(x) = n_L e^{-\frac{\varphi_1(x)}{k T}}. \quad (53)$$

Уравнение (3) при замене $p(x)$ на $p_1(x)$, $n(x)$ на $n_1(x)$ и $\varphi(x)$ на $\varphi_1(x)$ с учетом (52) и (53) принимает вид

$$\frac{d^2 \varphi_1(x)}{dx^2} = \frac{4 \pi q^2 p_T}{\varepsilon} \left[p_L p_T^{-1} e^{\frac{\varphi_1(x)}{k T}} - (1 - n_T p_T^{-1}) - n_L p_T^{-1} e^{-\frac{\varphi_1(x)}{k T}} \right]. \quad (54)$$

Граничные условия для уравнения (54) представим в виде

$$\varphi_1(L_1) = 0, \quad (55)$$

$$\varphi_1(0) = q(U_k \mp U_i), \quad (56)$$

$$p_1(0) = p_L e^{\frac{\varphi_1(0)}{k T}} = p_0(0) \pm \Delta n_1(0) \\ = p_L e^{\frac{q U_k}{k T}} \left[1 \pm \Delta n_1(0) p_T^{-1} e^{-\frac{q U_k}{k T}} \right], \quad (57)$$

$$\Delta n_1(0) = \pm [n_1(0) - n_0(0)] = \pm n_L e^{-\frac{q U_k}{k T}} (e^{\pm \frac{q U_i}{k T}} - 1), \quad (58)$$

$$\left(\frac{d \varphi_1(x)}{dx} \right)_{x=L_1} = 0. \quad (59)$$

Здесь L_1 — ширина ОПЗ перехода, U_1 — напряжение, которое изменяет разность потенциалов U_k ; верхние знаки — для режима прямого включения, а нижние — для обратного включения.

Интегрируем уравнение (54) от L_1 до 0 с учетом (55)–(59) и получаем

$$\left(\frac{d \varphi_1(x)}{dx} \right)_{x=0} = - \left(\frac{8 \pi q^2 k T p_T}{\varepsilon} \right)^{1/2} \\ \times \left[(1 + \Delta n_1(0) p_T^{-1} e^{-\frac{q U_k}{k T}}) e^{\frac{q U_k}{k T}} - p_L p_T^{-1} - (1 - n_T p_T^{-1}) \frac{q(U_k \mp U_1)}{k T} - n_L p_T^{-1} (1 - e^{-\frac{q(U_k \mp U_1)}{k T}}) \right]^{1/2}. \quad (60)$$

Заряд в ОПЗ $p^+ - p$ -перехода в бестоковом состоянии равен

$$Q_1 = \frac{\varepsilon}{4\pi q} \left| \left(\frac{d\varphi_1(x)}{dx} \right)_{x=0} \right|$$

$$= q p_T \left(\frac{\varepsilon k T}{2\pi q^2 p_T} \right)^{1/2} \left\{ (1 \pm \Delta n_1(0) p_T^{-1} e^{-\frac{q U_k}{k T}}) e^{\frac{q U_k}{k T}} - p_L p_T^{-1} - (1 - n_T p_T^{-1}) \frac{q(U_k \mp U_1)}{k T} - n_L p_T^{-1} (1 - e^{-\frac{q(U_k \mp U_1)}{k T}}) \right\}^{1/2}. \quad (61)$$

С учетом (12) при

$$\Delta n_1(0) p_T^{-1} e^{-\frac{q U_k}{k T}} \ll 1; \quad e^{-\frac{q(U_k \mp U_1)}{k T}} \ll 1 \quad (62)$$

из (61) получаем

$$Q_1 = q p_T \left(\frac{\varepsilon k T}{2\pi q^2 p_T} \right)^{1/2} \left[e^{\frac{q U_k}{k T}} - 2 p_L p_T^{-1} - (1 - n_T p_T^{-1}) \times \frac{q(U_k \mp U_1)}{k T} + 1 - n_T p_T^{-1} \right]^{1/2}. \quad (63)$$

Установлению бестокового состояния в $p^+ - p$ -переходе в режиме прямого включения препятствует недостаток заряда дырок ΔQ_p^- , который с учетом (6) и (33) и $p_0(L_0) = p_T$ представим в виде

$$\Delta Q_p^- = q [p(L) - p_0(L_0)] L = q p_T \left(\frac{\varepsilon k T}{2\pi q^2 p_T} \right)^{1/2} \times (p_L p_T^{-1} - 1) (1 - e^{-\frac{q(U_k - U)}{2k T}}). \quad (64)$$

Установлению бестокового состояния в $p^+ - p$ -переходе в режиме обратного включения препятствует избыток заряда дырок ΔQ_p^+ , который с учетом (6) и (33) представим в виде

$$\Delta Q_p^+ = q [p_0(L_0) - p(L)] L = q p_T \left(\frac{\varepsilon k T}{2\pi q^2 p_T} \right)^{1/2} \times (1 - p_L p_T^{-1}) (1 - e^{-\frac{q(U_k + U)}{2k T}}). \quad (65)$$

Установлению бестокового состояния в $p^+ - p$ -переходе также препятствует недостаток заряда электронов в режиме прямого включения и избыток заряда электронов в режиме обратного включения. Однако каждый из этих зарядов электронов пренебрежимо мал по сравнению с соответствующим зарядом дырок.

Таким образом, условие динамического равновесия $p^+ - p$ -перехода в режиме прямого включения опишет уравнение

$$Q = Q_1 - \Delta Q_p^- \quad (66)$$

и в режиме обратного включения уравнение

$$Q = Q_1 + \Delta Q_p^+. \quad (67)$$

Условия динамического равновесия $p^+ - p$ -перехода в режимах прямого и обратного включения можно также описать отдельными уравнениями для дырок и электронов, которые аналогичны уравнениям (66) и (67).

Уравнение (66) с учетом (40), (63), (64) принимает вид

$$\left[e^{\frac{q U_k}{k T}} - 2 p_L p_T^{-1} - 3 (e^{\frac{q U}{k T}} - p_L p_T^{-1}) (1 - e^{-\frac{q(U_k - U)}{2k T}}) - (1 - n_T p_T^{-1}) \frac{q(U_k - U)}{k T} + 1 - n_T n_T^{-1} + 2.25 F^{-2} (e^{\frac{q U}{k T}} - p_L p_T^{-1})^2 \right]^{1/2} - 1.5 F^{-1} (e^{\frac{q U}{k T}} - p_L p_T^{-1}) = \left[e^{\frac{q U_k}{k T}} - 2 p_L p_T^{-1} - (1 - n_T p_T^{-1}) \frac{q(U_k - U_1)}{k T} + 1 - n_T p_T^{-1} \right]^{1/2} - (p_L p_T^{-1} - 1) (1 - e^{-\frac{q(U_k - U)}{2k T}}). \quad (68)$$

Уравнение (67) с учетом (51), (63), (65) примет вид

$$\left[e^{\frac{q U_k}{k T}} - 2 p_L p_T^{-1} + 3 (p_L p_T^{-1} - e^{-\frac{q U}{k T}}) (1 - e^{-\frac{q(U_k + U)}{2k T}}) - (1 - n_T p_T^{-1}) \frac{q(U_k + U)}{k T} + 1 - n_T p_T^{-1} + 2.25 (p_L p_T^{-1})^{-2} \times (p_L p_T^{-1} - e^{-\frac{q U}{k T}})^2 \right]^{1/2} + 1.5 (p_L p_T^{-1})^{-1} (p_L p_T^{-1} - e^{-\frac{q U}{k T}}) = \left[e^{\frac{q U_k}{k T}} - 2 p_L p_T^{-1} - (1 - n_T p_T^{-1}) \frac{q(U_k + U_1)}{k T} + 1 - n_T p_T^{-1} \right]^{1/2} + (1 - p_L p_T^{-1}) (1 - e^{-\frac{q(U_k + U)}{2k T}}). \quad (69)$$

Уравнения (68) и (69) можно решить приближенно. Для диапазона прямых и обратных напряжений U , при которых первый член в квадратных скобках значительно больше остальных членов, корень квадратный извлекаем приближенно. Произведением с $\exp(-q U_k / 2k T)$ пренебрегаем, так как оно значительно меньше остальных членов уравнения. Тогда при

$$e^{-\frac{q(U_k \mp U)}{2k T}} \ll 1 \quad (70)$$

уравнение (68) с учетом (38) принимает вид

$$(p_L p_T^{-1})^2 + (2.5 \mu_p \mu^{-1} - 2) p_L p_T^{-1} - (1.5 e^{\frac{q U}{k T}} + 1) \mu_p \mu^{-1} + 1 = 0, \quad (71)$$

а уравнение (69) принимает вид

$$(p_L p_T^{-1})^2 + 0.5 p_L p_T^{-1} - 1.5 e^{-\frac{q U}{k T}} = 0. \quad (72)$$

Отрицательный корень уравнений (71) и (72) не имеет физического смысла. С учетом этого из (71) получаем

$$p_L p_T^{-1} = \left[(1.5e^{\frac{qU}{kT}} + 1)\mu_p \mu^{-1} + (1.25\mu_p \mu^{-1} - 1)^2 - 1 \right]^{1/2} - 1.25\mu_p \mu^{-1} + 1 \quad (73)$$

и при $\mu = \text{const}$

$$\frac{d}{dU} (p_L p_T^{-1}) = \frac{q}{kT} 0.75e^{\frac{qU}{kT}} \mu_p \mu^{-1} \left[(1.5e^{\frac{qU}{kT}} + 1)\mu_p \mu^{-1} + (1.25\mu_p \mu^{-1} - 1)^2 - 1 \right]^{-1/2}, \quad (74)$$

а из (72) получаем

$$p_L p_T^{-1} = [1.5e^{-\frac{qU}{kT}} + (0.25)^2]^{1/2} - 0.25, \quad (75)$$

$$\frac{d}{dU} (p_L p_T^{-1}) = -\frac{q}{kT} 0.75e^{-\frac{qU}{kT}} [1.5e^{-\frac{qU}{kT}} + (0.25)^2]^{-1/2}. \quad (76)$$

Из равенства токов j_n в виде (22) и в виде (23) получаем

$$\Delta n(0) = 0.5n_T e^{-\frac{qU_k}{kT}} (n_L n_T^{-1} e^{\frac{qU}{kT}} - 1), \quad (77)$$

а из равенства токов j_n в виде (44) и в виде (45) получаем

$$\Delta n(0) = 0.5n_T e^{-\frac{qU_k}{kT}} (1 - n_L n_T^{-1} e^{-\frac{qU}{kT}}). \quad (78)$$

Необходимо отметить, что уменьшение отношения $p_L p_T^{-1}$ с ростом U в (75) ограничено значением $(p_T - n_T) p_T^{-1}$, так как дальнейшее уменьшение концентрации дырок p_L приводит к появлению в квазинейтральной p -области отрицательного заряда ионов акцепторов.

5. Дифференциальная емкость $p^+ - p$ -перехода

Дифференциальную емкость $p^+ - p$ -перехода, у которого вся ОПЗ расположена в p -области, определяет формула [1]

$$C = \frac{dQ}{d(U_k \mp U)} = \frac{dQ/dU}{d(U_k \mp U)/dU} = \mp \frac{dQ}{dU}. \quad (79)$$

Зависимость емкости $p^+ - p$ -перехода C от прямого напряжения U получим подстановкой (40) в (79) в виде

$$C = -\frac{dQ}{dU} = 0.5q \left(\frac{\varepsilon p_T}{2\pi kT} \right)^{1/2} \left\{ 3F^{-1} e^{\frac{qU}{kT}} - 3 \left[(e^{\frac{qU}{kT}} - p_L p_T^{-1}) \times F^{-2} \mu \mu_p^{-1} + F^{-1} \right] \frac{kT}{q} \frac{d}{dU} (p_L p_T^{-1}) \right\} + 0.5q \left(\frac{\varepsilon p_T}{2\pi kT} \right)^{1/2} \times \left\{ 3e^{\frac{qU}{kT}} - 1 + n_T p_T^{-1} - 4.5(e^{\frac{qU}{kT}} - p_L p_T^{-1}) e^{\frac{qU}{kT}} F^{-2} - 1.5e^{-\frac{qU_k}{2kT}} (3e^{\frac{3qU}{2kT}} - p_L p_T^{-1} e^{\frac{qU}{kT}}) + \left[4.5(e^{\frac{qU}{kT}} - p_L p_T^{-1}) F^{-2} + 4.5(e^{\frac{qU}{kT}} - p_L p_T^{-1})^2 F^{-3} \mu \mu_p^{-1} - (1 - 3e^{-\frac{q(U_k - U)}{kT}}) \right] \frac{kT}{q} \times \frac{d}{dU} (p_L p_T^{-1}) \right\} \left[e^{\frac{qU_k}{kT}} - 2p_L p_T^{-1} - 3(e^{\frac{qU}{kT}} - p_L p_T^{-1}) \times (1 - e^{-\frac{q(U_k - U)}{2kT}}) - (1 - n_T p_T^{-1}) \frac{q(U_k - U)}{kT} + 1 - n_T p_T^{-1} + 2.25F^{-2} (e^{\frac{qU}{kT}} - p_L p_T^{-1})^2 \right]^{-1/2}, \quad (80)$$

где F , $p_L p_T^{-1}$ и $\frac{d}{dU} (p_L p_T^{-1})$ определены формулами (38), (73) и (74). Зависимость емкости $p^+ - p$ -перехода C от обратного напряжения U получим подстановкой (51) в (79) в виде

$$C = \frac{dQ}{dU} = 0.5q \left(\frac{\varepsilon p_T}{2\pi kT} \right)^{1/2} \left\{ 3(p_L p_T^{-1})^{-1} e^{-\frac{qU}{kT}} + 3(p_L p_T^{-1})^{-2} e^{-\frac{qU}{kT}} \frac{kT}{q} \frac{d}{dU} (p_L p_T^{-1}) + \left[3e^{-\frac{qU}{kT}} - 1 + n_T p_T^{-1} + 4.5(p_L p_T^{-1})^{-2} (p_L p_T^{-1} - e^{-\frac{qU}{kT}}) e^{-\frac{qU}{kT}} + 4.5((p_L p_T^{-1})^{-2} e^{-\frac{qU}{kT}} - (p_L p_T^{-1})^{-3} e^{-\frac{2qU}{kT}}) \frac{kT}{q} \frac{d}{dU} \times (p_L p_T^{-1}) + (1 - 3e^{-\frac{q(U_k + U)}{2kT}}) \frac{kT}{q} \frac{d}{dU} (p_L p_T^{-1}) - 1.5e^{-\frac{qU_k}{2kT}} (3e^{-\frac{3qU}{2kT}} - p_L p_T^{-1} e^{-\frac{qU}{kT}}) \right] \left[e^{\frac{qU_k}{kT}} - 2p_L p_T^{-1} + 3(p_L p_T^{-1} - e^{-\frac{qU}{kT}}) (1 - e^{-\frac{q(U_k + U)}{2kT}}) - (1 - n_T p_T^{-1}) \times \frac{q(U_k + U)}{kT} + 1 - n_T p_T^{-1} + 2.25(p_L p_T^{-1})^{-2} \times (p_L p_T^{-1} - e^{-\frac{qU}{kT}})^2 \right]^{-1/2} \right\}, \quad (81)$$

где $p_L p_T^{-1}$ и $\frac{d}{dU} (p_L p_T^{-1})$ определены формулами (75) и (76).

При $U = 0$ из (80) с учетом (73), (74) и $v = \mu_p$, а также из (81) с учетом (75) и (76) получаем

$$C(U = 0) = 0.5q \left(\frac{\varepsilon p_T}{2\pi kT} \right)^{1/2} \left\{ 1.2 + (1.4 + n_T p_T^{-1} - 1.2e^{-\frac{qU_k}{kT}}) \left[e^{\frac{qU_k}{kT}} - 1 - (1 - n_T p_T^{-1}) \frac{qU_k}{kT} - n_T p_T^{-1} \right]^{-1/2} \right\}. \quad (82)$$

Рассчитанные по формуле (82) значения емкости германиевых $p^+ - p$ -переходов, которые исследованы в работе [1], при $T = 300$ К близки к экспериментальным значениям.

При низких уровнях инжекции $p^+ - p$ -перехода $\mu = \mu_p$ и $F = p_L p_T^{-1}$. С учетом этого из (80), (73), (74) при $p_T \gg n_T$ получаем, что с ростом прямого напряжения U емкость C увеличивается.

При концентрациях p_T и n_T одного порядка и $p_T - n_T < p_T$ из (26) получаем $\mu < \mu_p$ и при $\mu \mu_p^{-1} p_L p_T^{-1} \gg 1$ из (38) получаем $F \gg 1$. Поэтому при низких уровнях инжекции $p^+ - p$ -перехода с ростом прямого напряжения U емкость C в (80) увеличивается. При высоких уровнях инжекции $p^+ - p$ -перехода из (27) при $p = p_L$ и $n = n_L$ получаем

$$\mu \mu_p^{-1} p_L p_T^{-1} = (1 - n_T p_T^{-1})(n_L p_L^{-1} + \mu_p \mu_n^{-1})^{-1}. \quad (83)$$

При $\mu \mu_p^{-1} \ll 1$ и $n_L p_L^{-1} \cong 1$ из (38) с учетом (83) получаем

$$F = 1 + (1 - n_T p_T^{-1})(1 + \mu_p \mu_n^{-1})^{-1} \cong 1. \quad (84)$$

Из (74) и (84) следует, что увеличение прямого напряжения U , т.е. рост уровня инжекции $p^+ - p$ -перехода, приводит к выполнению неравенства

$$\mu \mu_p^{-1} F^{-2} \frac{kT}{q} \frac{d}{dU} (p_L p_T^{-1}) > F^{-1} \quad (85)$$

и к отрицательной емкости C в (80). Поэтому увеличение температуры $p^+ - p$ -перехода изменяет зависимость роста емкости C от прямого напряжения U на зависимость с изменением знака емкости, что получено экспериментально в [1].

Из (81) с учетом (75) и (76) следует, что с увеличением обратного напряжения U емкость C уменьшается и изменяет знак. Увеличение температуры $p^+ - p$ -перехода, т.е. смена $n_L p_T^{-1} \ll 1$ на $n_T p_T^{-1} < 1$, не изменяет характер зависимости C от U . Эти результаты также получены экспериментально в [1].

6. Зависимость тока $p^+ - p$ -перехода от напряжения

Измерение напряжения U на ОПЗ $p^+ - p$ -перехода затруднено. Величину тока через $p^+ - p$ -переход j можно измерить с высокой точностью. Для расчета зависимости

емкости $p^+ - p$ -перехода C от тока j необходимо получить зависимость j от U .

Из (20) и (22) с учетом (34), (35), (77), (12) при

$$\Delta p(0) p_T^{-1} e^{-\frac{qU_k}{kT}} \ll 1; \quad e^{-\frac{q(U_k \mp U)}{2kT}} \ll 1; \quad e^{-\frac{3q(U_k \mp U)}{2kT}} \ll 1 \quad (86)$$

для режима прямого включения $p^+ - p$ -перехода получаем

$$j_p = 3qD_p p_T \left(\frac{\varepsilon kT}{2\pi q^2 p_T} \right)^{-1/2} \left[e^{\frac{qU}{kT}} - p_L p_T^{-1} \right], \quad (87)$$

$$j_n = 0.5qD_n n_T e^{-\frac{qU_k}{2kT}} \left(\frac{\varepsilon kT}{2\pi q^2 p_T} \right)^{-1/2} \times \left\{ [1 + p_T n_T^{-1} (p_L p_T^{-1} - 1)] e^{\frac{qU}{kT}} - 1 \right\}, \quad (88)$$

где $p_L p_T^{-1}$ определено формулой (73).

Из (42) и (44) с учетом (34), (35), (78), (12), (86) для режима обратного включения $p^+ - p$ -перехода получаем

$$j_p = -3qD_p p_T \left(\frac{\varepsilon kT}{2\pi q^2 p_T} \right)^{-1/2} [p_L p_T^{-1} - e^{-\frac{qU}{kT}}], \quad (89)$$

$$j_n = -0.5qD_n n_T e^{-\frac{qU_k}{2kT}} \left(\frac{\varepsilon kT}{2\pi q^2 p_T} \right)^{-1/2} \times \left\{ 1 - [1 - p_T n_T^{-1} (1 - p_L p_T^{-1})] e^{-\frac{qU}{kT}} \right\}, \quad (90)$$

где $p_L p_T^{-1}$ определено формулой (75). При $p_T \gg n_T$ в уравнениях (89) и (90) можно считать $p_L p_T^{-1} = 1$.

7. Заключение

Положительная емкость $p^+ - p$ -перехода образована уменьшением заряда в ОПЗ перехода при уменьшении разности потенциалов $U_k - U$, т.е. при увеличении прямого напряжения U , и увеличением заряда в ОПЗ перехода при увеличении разности потенциалов $U_k - U$, т.е. при уменьшении прямого напряжения U .

Изменение знака емкости $p^+ - p$ -перехода с ростом уровня инжекции вызвано изменением уменьшения заряда в ОПЗ перехода на его увеличение за счет уменьшения биполярной дрейфовой подвижности в p -области.

Изменение знака емкости $p^+ - p$ -перехода с положительного на отрицательный с ростом обратного напряжения определяет уменьшение заряда в ОПЗ перехода за счет преобладания роста отрицательного заряда ионов акцепторов над ростом положительного заряда дырок.

Список литературы

- [1] Н.А. Шеховцов. ФТП, **43** (4), 456 (2009).
- [2] J.B. Gunn. J. Electron. Control, **4** (1), 17 (1958).
- [3] Z.T. Kuzniki. Electron. Technol., **12** (2), 15 (1979).
- [4] Z.T. Kuzniki. Electron. Technol., **12** (3), 89 (1979).

- [5] Л.И. Баранов, В.Б. Гаманюк, Д.А. Усанов. *Физика полупроводников и полупроводниковая электроника* (Саратов, Изд-во Сарат. ун-та, 1970) т. 3, с. 8.
- [6] А.Н. Шеховцов, Н.А. Шеховцов. *Радиофизика и электроника* (Сб. тр. ИРЭ НАНУ, Харьков), **5**(1), 147 (2000).
- [7] Л.И. Баранов, В.Б. Гаманюк, Д.А. Усанов. *Радиотехника и электроника*, **13**(8), 1434 (1968).
- [8] В.Б. Гаманюк, Д.А. Усанов. *Радиотехника и электроника*, **15**(3), 637 (1970).
- [9] Л.И. Баранов, В.Б. Гаманюк, Д.А. Усанов. *Физика полупроводников и полупроводниковая электроника* (Саратов, Изд-во Сарат. ун-та, 1970) т. 3, с. 3.
- [10] В.С. Елисеев, А.В. Зеленцов. *Электрон. техн., Сер.*, **3**(1), 49 (1989).
- [11] Н.А. Шеховцов. *Вестн. Харьк. нац. ун-та им. В.Н. Каразина. Радиофизика и электроника* (Харьков), вып. 12, 54 (2008).
- [12] Р. Смит. *Полупроводники* (М., Мир, 1962) с. 252.
- [13] С.М. Рывкин. *Фотоэлектрические явления в полупроводниках* (М., Гос. изд-во физ.-мат. лит., 1963) с. 362.
- [14] G. Anant, A. Sabnis. *Solid-State Electron.*, **22**(7), 667 (1979).
- [15] W. Shockley. *Bell Syst. Techn.*, **28**(3), 435 (1949).
- [16] T. Misawa. *J. Phys. Soc. Jpn.*, **11**(7), 728 (1956).
- [17] N.H. Fletcher. *J. Electron.*, **2**(6), 609 (1957).
- [18] J.R. Hauser. *Solid-State Electron.*, **14**(2), 133 (1971).
- [19] Н.М. Дударов. Сб.: *Вопросы электросвязи* (Рига, Зинатне, 1972).
- [20] И.Н. Горбатый. *Радиотехника и электроника*, **33**(10), 2147 (1988).
- [21] В.А. Киреев. *Краткий курс физической химии* (М., Химия, 1969) с. 219.

Редактор Л.В. Беляков

Differential capacity of $p^+ - p$ -junction

N.A. Shekhovtsov

Karazin Kharkov National University,
61077 Kharkov, Ukraine

Abstract Differential capacity of $p^+ - p$ -junction formed by a charge change in region of junction in view of an electrical field of quasi-neutral p -region is investigated. The dependence of capacity and current of $p^+ - p$ -junction on junction voltage is obtained. It was shown, that a change of $p^+ - p$ -junction capacity sign at growth of injection level is created by means of a decrease of bipolar drift mobility into p -region. It was shown, that a change of $p^+ - p$ -junction capacity sign at reverse current growth is a result of a charge decrease into junction due to domination of negative charge growth of ion-acceptors over growth of positive charge of holes.